

# **Electrónica**

## **Práctica N°4**

### **Amplificadores Operacionales**

3 de junio de 2025

#### **1. Objetivos**

- Analizar el comportamiento de un amplificador operacional a lazo abierto.
- Comprobar el funcionamiento de un operacional a lazo cerrado y analizar su respuesta en frecuencia.
- Analizar el comportamiento de un filtro pasa bajo activo.
- Armar y analizar un oscilador en puente de Wien.

#### **2. Listado de componentes e instrumentos**

- Resistencias (1/4 watt): 1 k $\Omega$  (dos), 2.2 k $\Omega$  (dos), 10 k $\Omega$ , 27 k $\Omega$  y 47 k $\Omega$ .
- Potenciómetro de 10 k $\Omega$ .
- Capacitores de poliéster (25 Volt): 0.1  $\mu$ F (dos).
- LM741.
- Protoboard.
- Multímetro digital.
- Generador de funciones.
- Osciloscopio.
- Fuente de tensión de  $\pm 12$  Volts.

### 3. Funcionamiento a lazo abierto

- Armar el circuito de la Figura 1. Tener en cuenta que la tierra del generador y la de la fuente de alimentación deben estar conectadas entre sí.

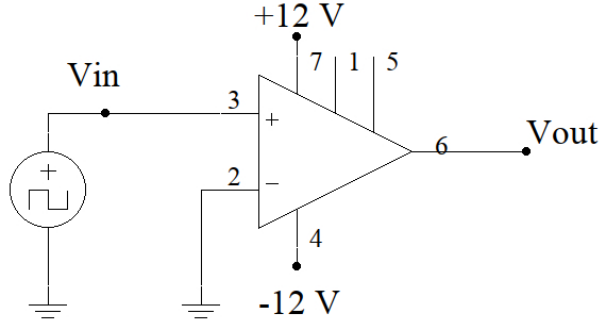


Figura 1: Funcionamiento del operacional a lazo abierto.

- Usando el generador de funciones, introducir en la entrada una señal cuadrada de 1 Volt de amplitud, sin offset de continua y frecuencia 100 Hz.
- Medir a continuación los valores positivo y negativo de saturación de la señal de salida usando el osciloscopio:

$$V_{\text{Sat}+} = \quad , V_{\text{Sat}-} =$$

- Cambiar la frecuencia del generador a 5 kHz. Observar que la señal de salida debería dejar de ser perfectamente cuadrada. Explicar a qué se debe este comportamiento.

.....  
.....  
.....

- Determinar la velocidad de respuesta (*slew rate*) del operacional midiendo la pendiente ( $\Delta V_{\text{out}}/\Delta t$ ) del flanco de subida o bajada de la señal de salida:

$$S_R =$$

Comparar el valor obtenido con el reportado en la hoja de datos del LM741.

**Nota:** Por simplicidad, en los circuitos que siguen se ha omitido trazar los contactos de alimentación de  $\pm 12$ . Sin embargo, para que los amplificadores operacionales funcionen correctamente, se deben mantener estas conexiones a lo largo de toda la práctica de laboratorio.

## 4. Funcionamiento a lazo cerrado

- Armar el amplificador no inversor de la Figura 2 alimentando el operacional con tensiones de  $\pm 12$  V. Introducir en la entrada una señal senoidal de 1 kHz sin offset de continua que permita tener una salida de 0,5 Volt de amplitud.

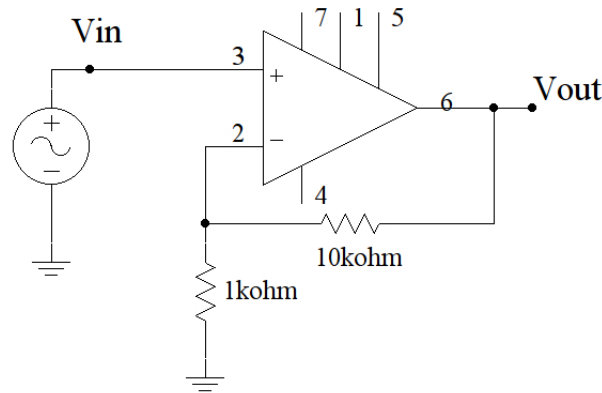


Figura 2: Amplificador no inversor.

- Observar en el osciloscopio la señal de salida superpuesta a la de entrada.
- Calcular y medir la ganancia de tensión a lazo cerrado:

$$A_{CL} = \boxed{\phantom{000}} \text{ (Calculada)}$$

$$A_{CL} = \boxed{\phantom{000}} \text{ (Medida)}$$

- ¿Qué valor debería tener la ganancia de tensión a la frecuencia de corte  $f_c$ ?

$$A_{CL}(f_c) = \boxed{\phantom{000}} \text{ (Calculada)}$$

**Nota:** Recordar que a la frecuencia de corte la ganancia cae 3 dB respecto de su valor en decibeles a frecuencias medias.

- Calcular y medir la frecuencia de corte:

$$f_c = \boxed{\phantom{000}} \text{ (Calculada)}$$

$$f_c = \boxed{\phantom{000}} \text{ (Medida)}$$

**Nota:** Para calcular la frecuencia de corte, se puede usar el hecho de que el producto entre el ancho de banda ( $f_c$ ) y la ganancia a lazo cerrado a frecuencias medias ( $A_{CL}$ ), es aproximadamente igual a la frecuencia unidad ( $f_u$ ) del operacional:

$$f_c A_{CL} \approx f_u = 10^6 \text{ Hz.}$$

## 5. Filtros activos

- Armar el filtro activo de la Figura 3 alimentando el operacional con tensiones de  $\pm 12$  V.

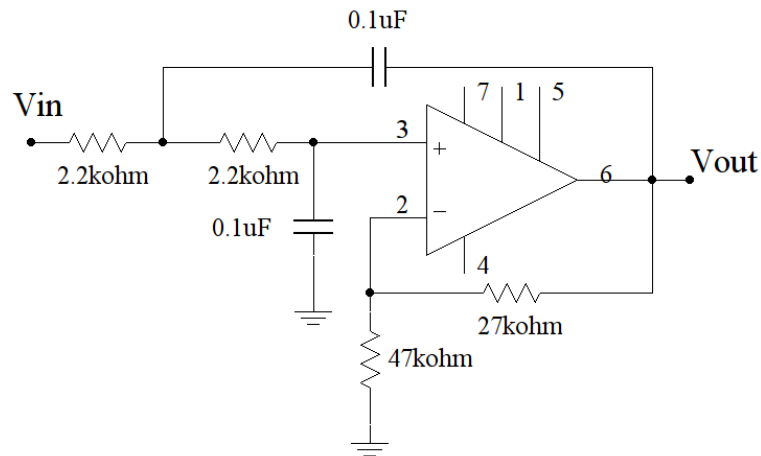


Figura 3: Filtro activo.

- ¿Qué tipo de filtro es, cuál es su orden y qué respuesta debería tener?..  
.....  
.....  
.....

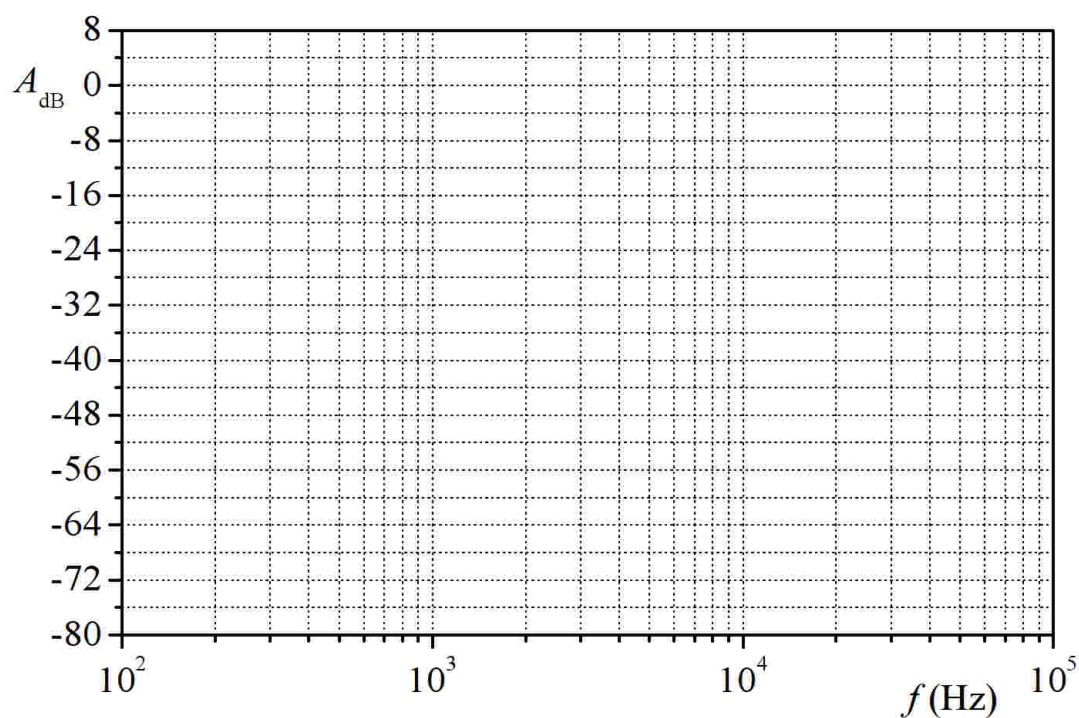


Figura 4: Diagrama de Bode del filtro activo.

- Calcular su frecuencia de corte:

$$f_c = \frac{1}{2\pi RC} = \quad \text{(Calculada)}$$

- Introducir en la entrada una onda senoidal sin offset de continua que permita tener una salida de no más de 1 Volt de amplitud. Haciendo un barrido en frecuencia medir la frecuencia de corte del filtro:

$$f_c = \quad \text{(Medida)}$$

- Midiendo la ganancia del filtro entre los 100 Hz y los 100 kHz, trazar en la Figura 4 el diagrama de Bode de este circuito. Indicar en la gráfica la frecuencia de corte.
- A partir del diagrama de Bode medir la pendiente de caída para frecuencias mucho mayores que  $f_c$ :

$$\text{Pendiente} = \quad$$

## 6. Oscilador en puente de Wien

- Armar el oscilador en puente de Wien de la Figura 5 alimentando el operacional con tensiones de  $\pm 12$  V.

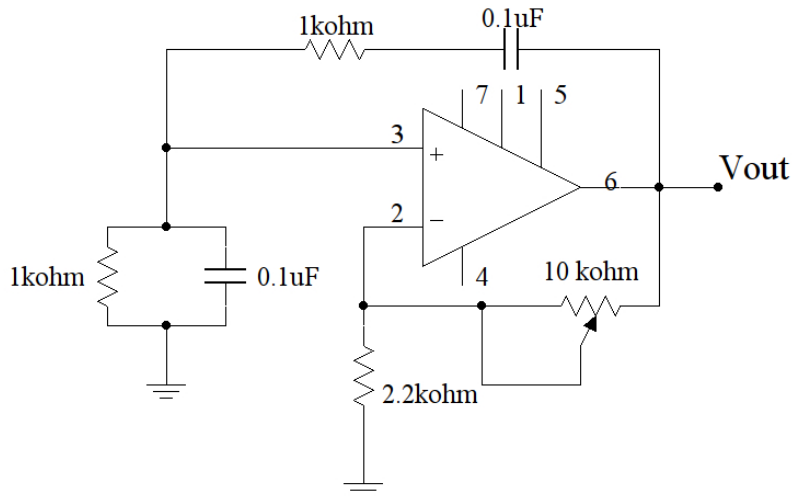


Figura 5: Oscilador en puente de Wien.

- Observar con el oscilloscopio la señal de salida. Si el circuito no está oscilando, variar el potenciómetro de  $10\text{ k}\Omega$  hasta que esto suceda.
- Ajustar el potenciómetro en el mínimo valor posible que permita tener una señal de salida de buena calidad.
- Calcular la frecuencia de resonancia (frecuencia de oscilación):

$$f_r = \frac{1}{2\pi RC} = \quad \text{(Calculada)}$$

- Medir la frecuencia de resonancia:

$$f_r = \boxed{\quad} \text{ (Medida)}$$

- Apagar el circuito y desconectar el potenciómetro de  $10\text{ k}\Omega$ , cuya función es la de realimentar en la entrada inversora la señal de salida. Medir el valor que quedó ajustado en este potenciómetro:

$$\text{Resistencia de realimentación} = \boxed{\quad} \text{ (Valor medida)}$$

- En teoría, ¿qué valor debería tener esta resistencia?:

$$\text{Resistencia de realimentación} = \boxed{\quad} \text{ (Valor teórico)}$$

# LM741

## Operational Amplifier

### General Description

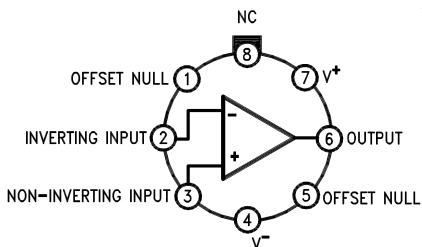
The LM741 series are general purpose operational amplifiers which feature improved performance over industry standards like the LM709. They are direct, plug-in replacements for the 709C, LM201, MC1439 and 748 in most applications.

The amplifiers offer many features which make their application nearly foolproof: overload protection on the input and output, no latch-up when the common mode range is exceeded, as well as freedom from oscillations.

The LM741C is identical to the LM741/LM741A except that the LM741C has their performance guaranteed over a 0°C to +70°C temperature range, instead of -55°C to +125°C.

### Connection Diagrams

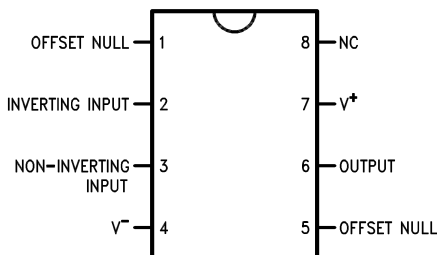
Metal Can Package



Note 1: LM741H is available per JM38510/10101

**Order Number LM741H, LM741H/883 (Note 1),  
LM741AH/883 or LM741CH  
See NS Package Number H08C**

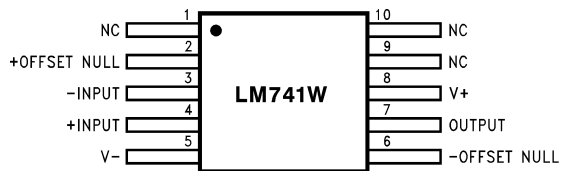
Dual-In-Line or S.O. Package



DS009341-3

**Order Number LM741J, LM741J/883, LM741CN  
See NS Package Number J08A, M08A or N08E**

Ceramic Flatpak

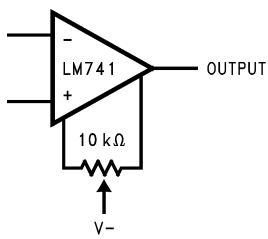


DS009341-6

**Order Number LM741W/883  
See NS Package Number W10A**

### Typical Application

Offset Nulling Circuit



DS009341-7

## Absolute Maximum Ratings (Note 2)

If Military/Aerospace specified devices are required, please contact the National Semiconductor Sales Office/Distributors for availability and specifications.

(Note 7)

	LM741A	LM741	LM741C
Supply Voltage	$\pm 22V$	$\pm 22V$	$\pm 18V$
Power Dissipation (Note 3)	500 mW	500 mW	500 mW
Differential Input Voltage	$\pm 30V$	$\pm 30V$	$\pm 30V$
Input Voltage (Note 4)	$\pm 15V$	$\pm 15V$	$\pm 15V$
Output Short Circuit Duration	Continuous	Continuous	Continuous
Operating Temperature Range	$-55^{\circ}C$ to $+125^{\circ}C$	$-55^{\circ}C$ to $+125^{\circ}C$	$0^{\circ}C$ to $+70^{\circ}C$
Storage Temperature Range	$-65^{\circ}C$ to $+150^{\circ}C$	$-65^{\circ}C$ to $+150^{\circ}C$	$-65^{\circ}C$ to $+150^{\circ}C$
Junction Temperature	$150^{\circ}C$	$150^{\circ}C$	$100^{\circ}C$
Soldering Information			
N-Package (10 seconds)	$260^{\circ}C$	$260^{\circ}C$	$260^{\circ}C$
J- or H-Package (10 seconds)	$300^{\circ}C$	$300^{\circ}C$	$300^{\circ}C$
M-Package			
Vapor Phase (60 seconds)	$215^{\circ}C$	$215^{\circ}C$	$215^{\circ}C$
Infrared (15 seconds)	$215^{\circ}C$	$215^{\circ}C$	$215^{\circ}C$
See AN-450 "Surface Mounting Methods and Their Effect on Product Reliability" for other methods of soldering surface mount devices.			
ESD Tolerance (Note 8)	400V	400V	400V

## Electrical Characteristics (Note 5)

Parameter	Conditions	LM741A			LM741			LM741C			Units
		Min	Typ	Max	Min	Typ	Max	Min	Typ	Max	
Input Offset Voltage	$T_A = 25^{\circ}C$ $R_S \leq 10 k\Omega$ $R_S \leq 50\Omega$		0.8	3.0		1.0	5.0		2.0	6.0	mV mV
	$T_{AMIN} \leq T_A \leq T_{AMAX}$ $R_S \leq 50\Omega$ $R_S \leq 10 k\Omega$			4.0			6.0			7.5	mV mV
Average Input Offset Voltage Drift				15							$\mu V/^{\circ}C$
Input Offset Voltage Adjustment Range	$T_A = 25^{\circ}C, V_S = \pm 20V$	$\pm 10$			$\pm 15$			$\pm 15$			mV
Input Offset Current	$T_A = 25^{\circ}C$	3.0	30		20	200		20	200		nA
	$T_{AMIN} \leq T_A \leq T_{AMAX}$			70	85	500			300		nA
Average Input Offset Current Drift				0.5							$nA/^{\circ}C$
Input Bias Current	$T_A = 25^{\circ}C$	30	80		80	500		80	500		nA
	$T_{AMIN} \leq T_A \leq T_{AMAX}$			0.210			1.5			0.8	$\mu A$
Input Resistance	$T_A = 25^{\circ}C, V_S = \pm 20V$	1.0	6.0		0.3	2.0		0.3	2.0		$M\Omega$
	$T_{AMIN} \leq T_A \leq T_{AMAX}, V_S = \pm 20V$	0.5									$M\Omega$
Input Voltage Range	$T_A = 25^{\circ}C$							$\pm 12$	$\pm 13$		V
	$T_{AMIN} \leq T_A \leq T_{AMAX}$				$\pm 12$	$\pm 13$					V

## Electrical Characteristics (Note 5) (Continued)

Parameter	Conditions	LM741A			LM741			LM741C			Units
		Min	Typ	Max	Min	Typ	Max	Min	Typ	Max	
Large Signal Voltage Gain	$T_A = 25^\circ C$ , $R_L \geq 2 k\Omega$ $V_S = \pm 20V$ , $V_O = \pm 15V$ $V_S = \pm 15V$ , $V_O = \pm 10V$	50			50	200		20	200		V/mV V/mV
	$T_{A\text{MIN}} \leq T_A \leq T_{A\text{MAX}}$ , $R_L \geq 2 k\Omega$ , $V_S = \pm 20V$ , $V_O = \pm 15V$ $V_S = \pm 15V$ , $V_O = \pm 10V$ $V_S = \pm 5V$ , $V_O = \pm 2V$	32			25			15			V/mV V/mV V/mV
Output Voltage Swing	$V_S = \pm 20V$ $R_L \geq 10 k\Omega$ $R_L \geq 2 k\Omega$	$\pm 16$ $\pm 15$									V V
	$V_S = \pm 15V$ $R_L \geq 10 k\Omega$ $R_L \geq 2 k\Omega$				$\pm 12$ $\pm 10$	$\pm 14$ $\pm 13$		$\pm 12$ $\pm 10$	$\pm 14$ $\pm 13$		V V
Output Short Circuit Current	$T_A = 25^\circ C$ $T_{A\text{MIN}} \leq T_A \leq T_{A\text{MAX}}$	10 10	25 40	35		25			25		mA mA
Common-Mode Rejection Ratio	$T_{A\text{MIN}} \leq T_A \leq T_{A\text{MAX}}$ $R_S \leq 10 k\Omega$ , $V_{CM} = \pm 12V$ $R_S \leq 50\Omega$ , $V_{CM} = \pm 12V$	80	95		70	90		70	90		dB dB
Supply Voltage Rejection Ratio	$T_{A\text{MIN}} \leq T_A \leq T_{A\text{MAX}}$ , $V_S = \pm 20V$ to $V_S = \pm 5V$ $R_S \leq 50\Omega$ $R_S \leq 10 k\Omega$	86	96		77	96		77	96		dB dB
Transient Response Rise Time Overshoot	$T_A = 25^\circ C$ , Unity Gain			0.25 6.0	0.8 20		0.3 5		0.3 5		μs %
Bandwidth (Note 6)	$T_A = 25^\circ C$	0.437	1.5								MHz
Slew Rate	$T_A = 25^\circ C$ , Unity Gain	0.3	0.7			0.5			0.5		V/μs
Supply Current	$T_A = 25^\circ C$					1.7	2.8		1.7	2.8	mA
Power Consumption	$T_A = 25^\circ C$ $V_S = \pm 20V$ $V_S = \pm 15V$		80	150		50	85		50	85	mW mW
	$V_S = \pm 20V$ $T_A = T_{A\text{MIN}}$ $T_A = T_{A\text{MAX}}$			165 135							mW mW
LM741	$V_S = \pm 15V$ $T_A = T_{A\text{MIN}}$ $T_A = T_{A\text{MAX}}$					60 45	100 75				mW mW

Note 2: "Absolute Maximum Ratings" indicate limits beyond which damage to the device may occur. Operating Ratings indicate conditions for which the device is functional, but do not guarantee specific performance limits.